Méthode des éléments finis Formulation intégrale du problème modèle de la barre

Prof. F. Gallaire

- Forme forte ⇒ forme faible
 - Rappel de la formulation forte

$$-EA (d^{2}u/dx^{2}) = q \quad dans \]0, \ell[$$

$$u(0) = 0$$

$$EA (du/dx)|_{x=\ell} = P$$

Forme intégrale pondérée

$$0 = \int_0^\ell [EA (d^2u/dx^2) + q] \, \delta u \, dx \quad \forall \, \delta u \in V$$

-14-

Intégration par parties

$$0 = \int_0^{\ell} EA \left(\frac{du}{dx} \right) \left(\frac{d\delta u}{dx} \right) dx$$
$$- \left[EA \left(\frac{du}{dx} \right) \delta u \right]_0^{\ell} - \int_0^{\ell} q \, \delta u \, dx \quad \forall \, \delta u \in V$$

Prise en compte des conditions aux limites et du caractère cinématiquement admissible du déplacement virtuel

$$u \in U: \int_0^{\ell} EA \left(\frac{du}{dx} \right) \left(\frac{d\delta u}{dx} \right) dx - P \delta u(\ell)$$

$$= \int_0^{\ell} q \, \delta u \, dx \quad \forall \, \delta u \in V$$

$$\Rightarrow \text{ forme faible}$$

- Forme faible ⇒ forme forte
 - Rappel de la formulation faible

$$u \in U : \int_0^{\ell} EA \left(\frac{du}{dx} \right) \left(\frac{d\delta u}{dx} \right) dx - P \, \delta u(\ell)$$
$$= \int_0^{\ell} q \, \delta u \, dx \quad \forall \, \delta u \in V$$

Intégration par parties

$$- \int_0^{\ell} [EA (d^2u/dx^2) + q] \, \delta u \, dx$$
$$+ [EA (du/dx) - P] \, \delta u \big|_{x=\ell} = 0 \quad \forall \, \delta u \in V$$

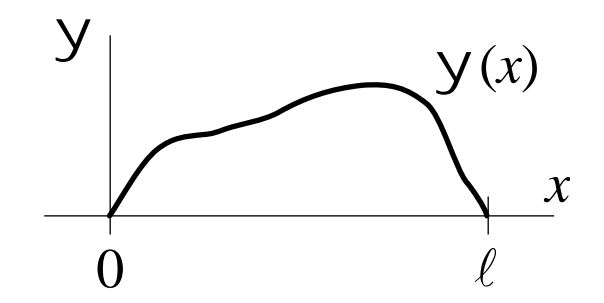
Choix d'une forme pour le déplacement virtuel

$$\delta u = \psi [EA (d^2u/dx^2) + q]$$

 $\psi(x)$ arbitraire

Cas particulier 1

$$\psi > 0$$
, $\psi(0) = 0$, $\psi(\ell) = 0$



$$\Rightarrow \int_0^\ell \psi \left[EA \left(\frac{d^2 u}{dx^2} \right) + q \right]^2 dx = 0$$

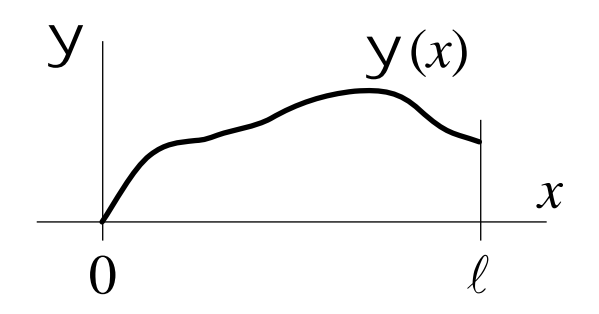
$$\Rightarrow -EA (d^2u/dx^2) = q$$
 dans $]0, \ell[$

$$- \int_0^{\ell} [EA (d^2u/dx^2) + q] \, \delta u \, dx$$
$$+ [EA (du/dx) - P] \, \delta u \,|_{x = \ell} = 0 \, \forall \, \delta u \in V$$

Cas particulier 2

$$\delta u = \psi$$

 $\psi > 0, \ \psi(0) = 0,$



$$EA \left(\frac{d^2u}{dx^2} \right) + q = 0 \quad \forall x \in]0, \ell[$$

$$\Rightarrow [EA (du/dx) - P] \delta u|_{x = \ell} = 0$$

$$\Rightarrow EA \left(\frac{du}{dx} \right)|_{x=\ell} = P$$

$$u(0) = 0$$
 car $u \in U$

 \Rightarrow forme forte

Formulation faible approchée

Approximation des déplacements axiaux réel et virtuel

$$u \approx u^h \in U^h \subset U$$
 $\delta u \approx \delta u^h \in V^h \subset V$

Forme faible approchée

$$u^{h} \in U^{h}: \int_{0}^{\ell} EA \left(\frac{du^{h}}{dx} \right) \left(\frac{d\delta u^{h}}{dx} \right) dx$$

$$= P \delta u^{h}(\ell) + \int_{0}^{\ell} q \delta u^{h} dx \quad \forall \ \delta u^{h} \in V^{h}$$

• Choix de n fonctions de forme linéairement indépendantes, constituant une base du sous-espace U^h de dimension n

$$h_i(x)$$
 ($i = 1, 2, ..., n$)

Approximation de Galerkin

$$u^h(x) = \sum_{i=1}^n \alpha_i h_i(x) = \mathbf{H}(x) \mathbf{\alpha}$$

$$\mathbf{H} = [h_1, h_2, ..., h_i, ..., h_n] \quad \text{matrice } (1 \times n) \text{ des fonctions de forme}$$

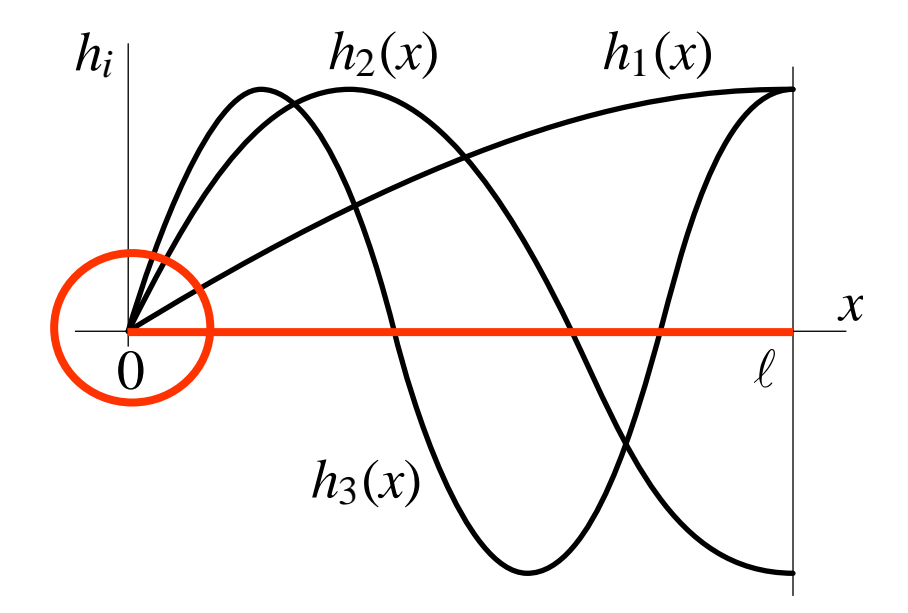
$$\mathbf{\alpha} = \{\alpha_1, \alpha_2, ..., \alpha_i, ..., \alpha_n\}^T \quad \text{vecteur } (n \times 1) \text{ des inconnues}$$

$$\delta u^h(x) = \sum_{i=1}^n \delta \alpha_i h_i(x) = \mathbf{H}(x) \delta \alpha$$



Même forme d'approximation pour u^h et δu^h

Caractérisation des fonctions de forme



Fonctions $h_i(x)$ (i=1, 2, ..., n) définies globalement sur le domaine $[0, \ell]$ et respectant la condition aux limites essentielle

-21-

Insertion de l'approximation dans la forme faible approchée

$$\int_{0}^{\ell} EA \left[d(\mathbf{H} \ \delta \mathbf{\alpha})^{\mathrm{T}} / \mathrm{d}x \right] \left[d(\mathbf{H} \ \mathbf{\alpha}) / \mathrm{d}x \right] \mathrm{d}x$$

$$= \left[\mathbf{H}(\ell) \ \delta \mathbf{\alpha} \right]^{\mathrm{T}} P + \int_{0}^{\ell} \left[\mathbf{H} \ \delta \mathbf{\alpha} \right]^{\mathrm{T}} q \, \mathrm{d}x \quad \forall \ \delta \mathbf{\alpha}$$

$$\Rightarrow \delta \mathbf{\alpha}^{\mathrm{T}} \left[\int_{0}^{\ell} EA \left(d\mathbf{H}^{\mathrm{T}} / \mathrm{d}x \right) \left(d\mathbf{H} / \mathrm{d}x \right) \, \mathrm{d}x \right] \qquad \text{Transposition}$$

$$\underset{\text{matrice de rigidité } \mathbf{K}}{\text{matrice de rigidité } \mathbf{K}} - \left[\mathbf{H}^{\mathrm{T}}(\ell) P + \int_{0}^{\ell} \mathbf{H}^{\mathrm{T}} q \, \mathrm{d}x \right] = 0 \quad \forall \ \delta \mathbf{\alpha}$$

$$\underset{\text{vecteur des forces}}{\text{vecteur des forces}}$$

 $\Rightarrow \delta \mathbf{\alpha}^{\mathrm{T}}(\mathbf{K} \mathbf{\alpha} - \mathbf{r}) = 0 \quad \forall \, \delta \mathbf{\alpha}$

appliquées r

Forme faible discrète

$$\mathbf{K} \alpha = \mathbf{r}$$

$$\mathbf{K} = \int_0^\ell EA \left(d\mathbf{H}^{\mathrm{T}} / dx \right) \left(d\mathbf{H} / dx \right) dx \quad \text{matrice de rigidité}$$

$$= \int_0^\ell EA \, \mathbf{B}^{\mathrm{T}} \mathbf{B} \, dx$$

$$\mathbf{r} = \mathbf{H}^{\mathrm{T}}(\ell) \, P \, + \, \int_0^\ell \mathbf{H}^{\mathrm{T}} \, q \, dx \quad \text{vecteur des forces appliquées}$$

 $\mathbf{B} = \mathrm{d}\mathbf{H}/\mathrm{d}x$ matrice-déformation ou de passage des déplacements aux déformations

30/09/2021 -23-

Forme indicielle de la formulation faible discrète

$$\delta \mathbf{\alpha}^{\mathrm{T}}(\mathbf{K} \mathbf{\alpha} - \mathbf{r}) = 0 \quad \forall \ \delta \mathbf{\alpha} \quad \Rightarrow \quad \mathbf{K} \mathbf{\alpha} = \mathbf{r}$$

$$\delta \mathbf{\alpha} = \{1, 0, ..., 0, ..., 0\}^{\mathrm{T}} \rightarrow 1^{\mathrm{ère}} \text{ ligne } \sum_{j=1}^{n} k_{1j} \alpha_{j} = r_{1}$$

$$\delta \mathbf{\alpha} = \{0, 1, ..., 0, ..., 0\}^{\mathrm{T}} \rightarrow 2^{\mathrm{ème}} \text{ ligne } \sum_{j=1}^{n} k_{2j} \alpha_{j} = r_{2}$$

$$...$$

$$\Rightarrow \sum_{j=1}^{n} k_{ij} \alpha_{j} = r_{i} \qquad k_{ij} = \int_{0}^{\ell} EA \left(\mathrm{d}h_{i}/\mathrm{d}x \right) \left(\mathrm{d}h_{j}/\mathrm{d}x \right) \mathrm{d}x$$

$$r_{i} = h_{i}(\ell) P + \int_{0}^{\ell} h_{i} q \, \mathrm{d}x$$

Avantages et inconvénients de la méthode de Galerkin

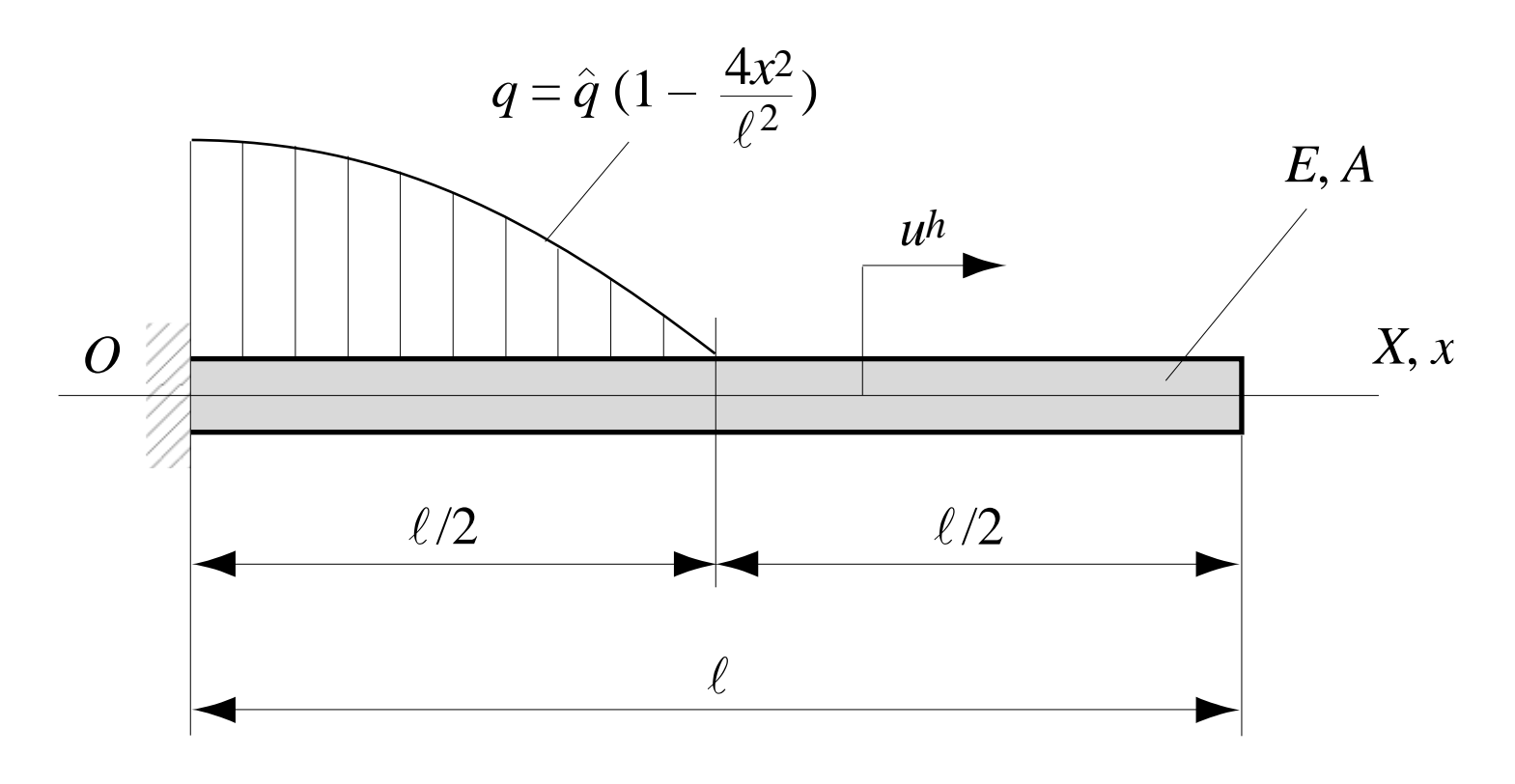
- Avantages de la méthode de Galerkin par rapport aux autres procédés des résidus pondérés
 - Même approximation pour u^h et $\delta u^h \Rightarrow$ construction d'un seul sous-espace U^h et d'un seul ensemble de fonctions $h_i(x)$
 - Meilleure approximation possible de u^h dans le sous-espace U^h



- Inconvénients de la méthode de Galerkin
 - Aucune information pour la construction des fonctions de forme $h_i(x) \Rightarrow$ manque de systématisation de la procédure
 - Difficultés à trouver des fonctions $h_i(x)$ globales satisfaisant les conditions aux limites essentielles

- Inconnues $lpha_i$ sans interprétation physique

30/09/2021 -25-



Barre prismatique soumise à une charge répartie

Adaptation de la formulation faible approchée

$$u^{h} \in U^{h}: \int_{0}^{\ell} EA \left(\frac{du^{h}}{dx} \right) \left(\frac{d\delta u^{h}}{dx} \right) dx$$

$$= \int_{0}^{\ell/2} \hat{q} \left[1 - \frac{4x^{2}}{\ell^{2}} \right] \delta u^{h} dx \quad \forall \ \delta u^{h} \in V^{h}$$

 Approximation à deux termes des déplacements réel et virtuel par la méthode de <u>Galerkin</u>

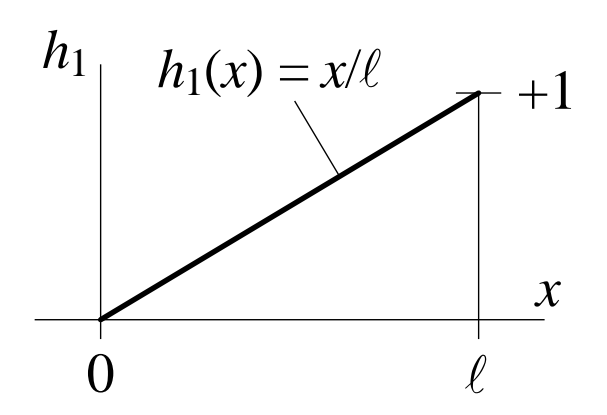
$$u^{h}(x) = \alpha_{1} h_{1}(x) + \alpha_{2} h_{2}(x)$$

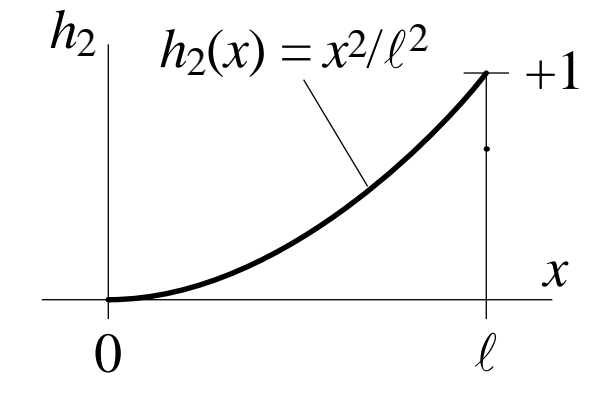
$$\delta u^{h}(x) = \delta \alpha_{1} h_{1}(x) + \delta \alpha_{2} h_{2}(x)$$

Choix des fonctions d'approximation

$$h_1(x) = x/\ell \qquad (\mathrm{d}h_1/\mathrm{d}x = 1/\ell)$$

$$h_2(x) = x^2/\ell^2 \quad (dh_2/dx = 2x/\ell^2)$$







Respect de la condition aux limites essentielle en x=0

Calcul de la matrice de rigidité K

$$k_{11} = \int_{0}^{\ell} EA \, (dh_{1}/dx)^{2} \, dx = \int_{0}^{\ell} \frac{EA}{\ell^{2}} \, dx = EA/\ell$$

$$k_{12} = k_{21} = \int_{0}^{\ell} EA \, (dh_{1}/dx) \, (dh_{2}/dx) \, dx$$

$$= \int_{0}^{\ell} EA \, \frac{2x}{\ell^{3}} \, dx = EA/\ell$$

$$k_{22} = \int_{0}^{\ell} EA \, (dh_{2}/dx)^{2} \, dx = \int_{0}^{\ell} EA \, \frac{4x^{2}}{\ell^{4}} \, dx = 4EA/(3\ell)$$

$$\Rightarrow \mathbf{K} = \frac{EA}{3\ell} \begin{bmatrix} 3 & 3 \\ 3 & 4 \end{bmatrix}$$

Calcul du vecteur des forces externes r

$$r_{1} = \int_{0}^{\ell/2} \hat{q} \left[1 - \frac{4x^{2}}{\ell^{2}} \right] h_{1} dx = \int_{0}^{\ell/2} \hat{q} \left[1 - \frac{4x^{2}}{\ell^{2}} \right] \frac{x}{\ell} dx$$

$$= \hat{q}\ell/16$$

$$r_{2} = \int_{0}^{\ell/2} \hat{q} \left[1 - \frac{4x^{2}}{\ell^{2}} \right] h_{2} dx = \int_{0}^{\ell/2} \hat{q} \left[1 - \frac{4x^{2}}{\ell^{2}} \right] \frac{x^{2}}{\ell^{2}} dx$$

$$= \hat{q}\ell/60$$

$$\Rightarrow \mathbf{r} = \frac{\hat{q}\ell}{240} \begin{cases} 15 \\ 4 \end{cases}$$

• Système d'équations $\mathbf{K} \alpha = \mathbf{r}$

$$\frac{EA}{3\ell} \begin{bmatrix} 3 & 3 \\ 3 & 4 \end{bmatrix} \begin{bmatrix} \alpha_1 \\ \alpha_2 \end{bmatrix} = \frac{\hat{q}\ell}{240} \begin{bmatrix} 15 \\ 4 \end{bmatrix}$$

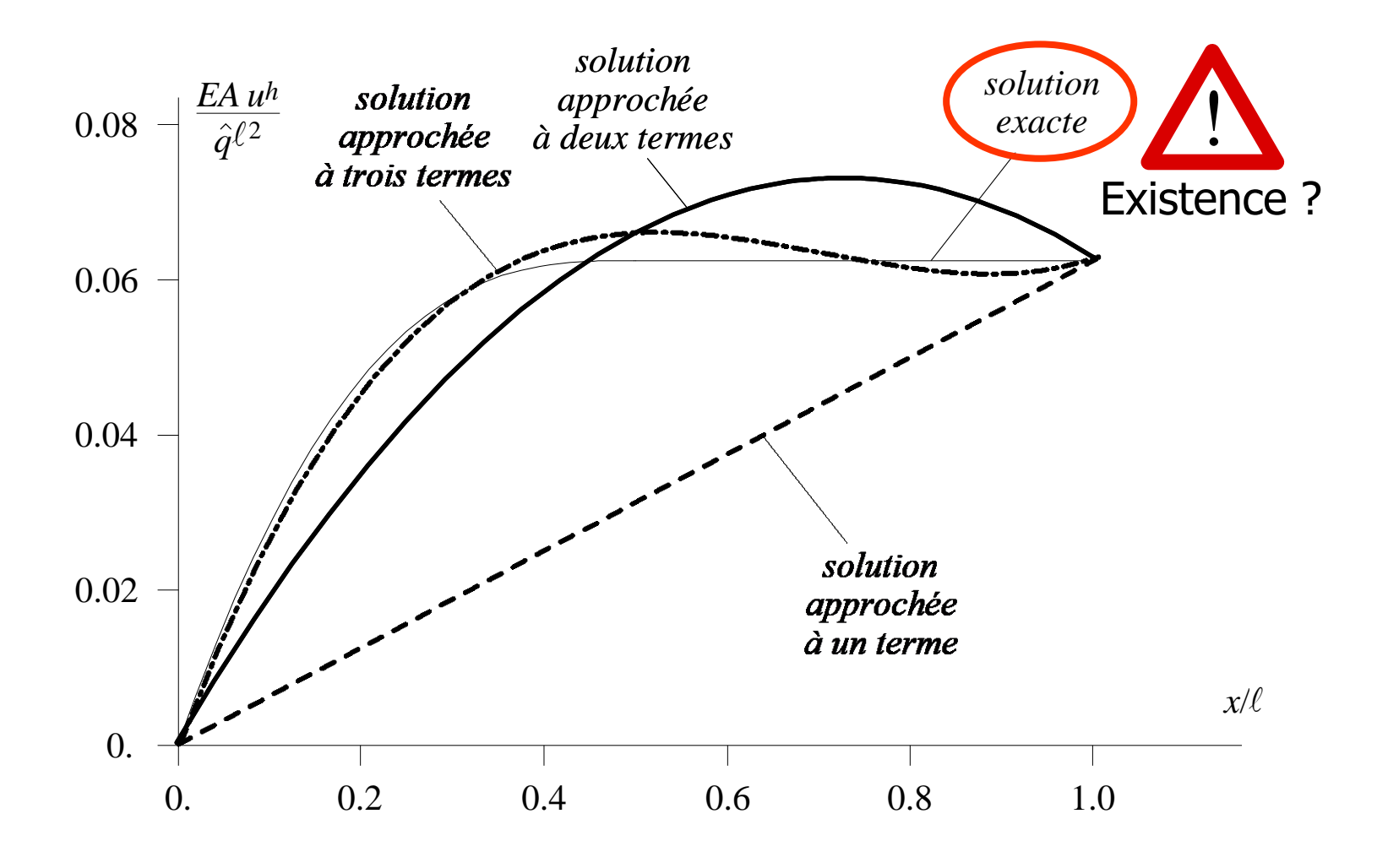
Résolution du système d'équations

$$\alpha_1 = \hat{q}\ell^2/(5EA)$$

$$\alpha_2 = -11\hat{q}\ell^2/(80EA)$$

Solution approchée du problème

$$u^h(x) = \frac{\hat{q}\ell x}{5EA} \left[1 - \frac{11x}{16\ell} \right]$$



- Discussion des résultats et commentaires
 - Accroissement de la précision globale avec le nombre n de termes dans l'approximation u^h
 - Solution exacte en x = 0



Condition aux limites essentielle vérifiée par l'approximation u^h

Solution exacte en $x=\ell$



Résultat non généralisable

• Condition aux limites naturelle approchée en $x = \ell$, mais approximation améliorée avec le nombre n de termes

33/09/2021 -33-